

Supplementary Data

Comparative proteomic analysis of the effects of nitric oxide on alleviating Cd-induced toxicity in rice (*Oryza sativa* L.)

Xiufeng Zhao, Chengqiang Ding, Lin Chen, Shaohua Wang, Qiangsheng Wang, Yanfeng Ding

Supplementary Table 1. Differentially regulated protein identified by MALDI-TOF-TOF in rice leaves

spot	Accession No.	Peptide sequence
306	gi 125552851	K.LVSELPNGSVLLENVR.F
1413	gi 108705994	K.AVALVLPQLK.G K.ILDEEFGIVK.G K.TGITADDVNAAFR.K K.TGITADDVNAAFR.K.A K.VVAWYDNEWGYSQR.V R.VPTPNVSVVDLVINTVK.T
1801	gi 53370754	K.DNQTIHSLFGTPTR.D
2106	gi 115472339	K.KGNAYFIR.R R.RPFIPTER.T R.ALQESLASELAAR.M R.IVGNEHYETAQR.V
2211	gi 108711272	K.VALVYQGMNEPPGAR.M
2407	gi 115450493	K.ILDEEFGIVK.G K.TGITADDVNAAFR.K K.TGITADDVNAAFR.K.A K.GTMTTTHSYTGDQR.L R.ENSPLEVVVNDSSGGVR.N
3308	gi 115458768	K.KTLAEVNVQAFR.D R.VVDLADIVANQWK. K.GTMTTTHSYTGDQR.L K.VIAWYDNEWGYSQR.V K.GILEVCDVPLVSVDFR.C K.YDSTLGFADVVKPVGDN AISVDGK.V R.NPSNLPWGELGIDLVI EGTGVFVDR.D
3506	gi 4760483	K.GYLFQNAAR.L R.LPGFHTCVGSGGER.L K.LTDFGVQGAEANDILYLR.D
3513	gi 11466794	K.AHGGVSVFVGGVGR.T K.VALVYQGMNEPPGAR.M R.GMEVIDTGAPLSVPVGGATLGR.I
4507	gi 115450493	K.AVALVLPQLK.G K.ILDEEFGIVK.G K.TGITADDVNAAFR.K K.GTMTTTHSYTGDQR.L R.ENSPLEVVVNDSSGGVR.N R.VPTPNVSVVDLVINTVK.T
4724	gi 11466784	K.AAAGPLSGILDVCDVPLVSVDFR.C R.KVGIENIGR.V K.EAIQEQLER.F R.LIESPAPGIISR.R

Table 1 (continued)

spot	Accession No.	Peptide sequence
5720	gi 11466784	R.IAQIPVSEAYLGR.V R.EAYPGDV FYLH SR.L R.VVQVGDGIAR.I R.LIESPAPGIISR.R R.IAQIPVSEAYLGR.V R.EAYPGDV FYLH SR.L
6808	gi 54606800	K.GLTYP PFSNIR.K R.GLLPPAIVSQELQER.K
6902	gi 115440691	K.ALEYADFDKFD R.V
7202	gi 115460656	K.WHVHDER.S

7717 gi|53792338 K.DGTGTLTVFTNDR.G
K.TALYDFHVAHGGK.M
R.LADEYGSSEL.R.L
R.VQAADMFE.LAR.L

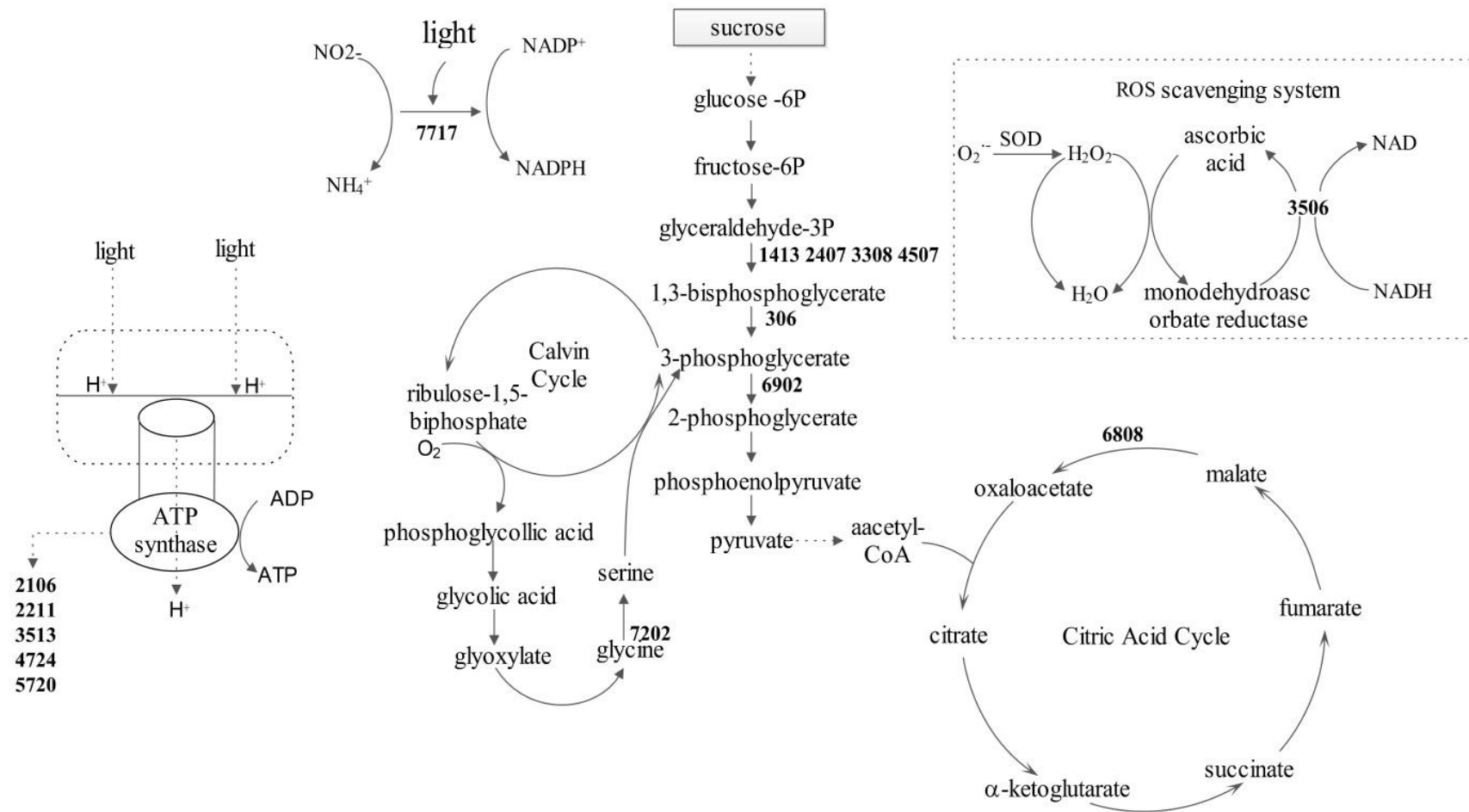
Supplementary Table 2. Differentially regulated protein identified by MALDI-TOF-TOF in rice roots

spot	Accession No.	Peptide sequence
1320	gi 115474481	R.LPLWSEDAAR.A K.SAGILCSYDPNVR.L
1327	gi 108862992	M.ASHIVGYPR.M + Acetyl (N-term) K.YLFAGVVDGR.N
1908	gi 6863054	K.IGGVPHGLSTDSEVVQR.E
1920	gi 56202189	R.APFDLFDTR.K K.RAPFDLFDTR.K K.SDLVNNLGTIAR.S K.GIVDSEDPLNISR.E
2616	gi 115438576	R.ALVHYYPVAGR.I K.DASLVEIVTAIR.E R.TLAIDFAPDADVR.L K.EELLPRPPPEVR.V
2715	gi 77551124	R.ALGLAPEQR.T R.RFEPPLPR.G R.SAVDYFEATR.A R.GAAELTVPPFLDR.T K.EVILFLAHGEER.K R.ALALAGAGAENGDDLVGGR.C
2814	gi 115488386	K.FGTLFSGETR.K R.GDEEVISLYVTPR.M
3309	gi 114386664	K.YSLKPLVPR.L K.LAAALPEGGVLLLENVR.F K.LAAVADLYVNDAFGTAHR.A
3404	gi 56784991	K.VVDLLAPYQR.G K.AHGGFSVFAGVGER.T R.VGLTGLTVAEHFR.D R.FTQANSEVSALLGR.I R.DAEGQDVLLFIDNIFR.F R.IPSAVGYQPTLATDLGGLQER.I
3606	gi 29367605	R.WVFPETNTGIIVLAEGR.L
3732	gi 115442217	R.AYNQGLIDHVGR.G R.DNVEAYWPSVIIR.Y R.DISLNYATFQPGTTVR.D R.EISLNYATFQPGTTVR.D
3903	gi 115450773	R.KGDLFLVR.G R.ELVELPLR.H R.EIDIGVPDEVGR.L
4502	gi 218197799	R.LFLANPDLPK.R K.RFELDAPLNK.Y

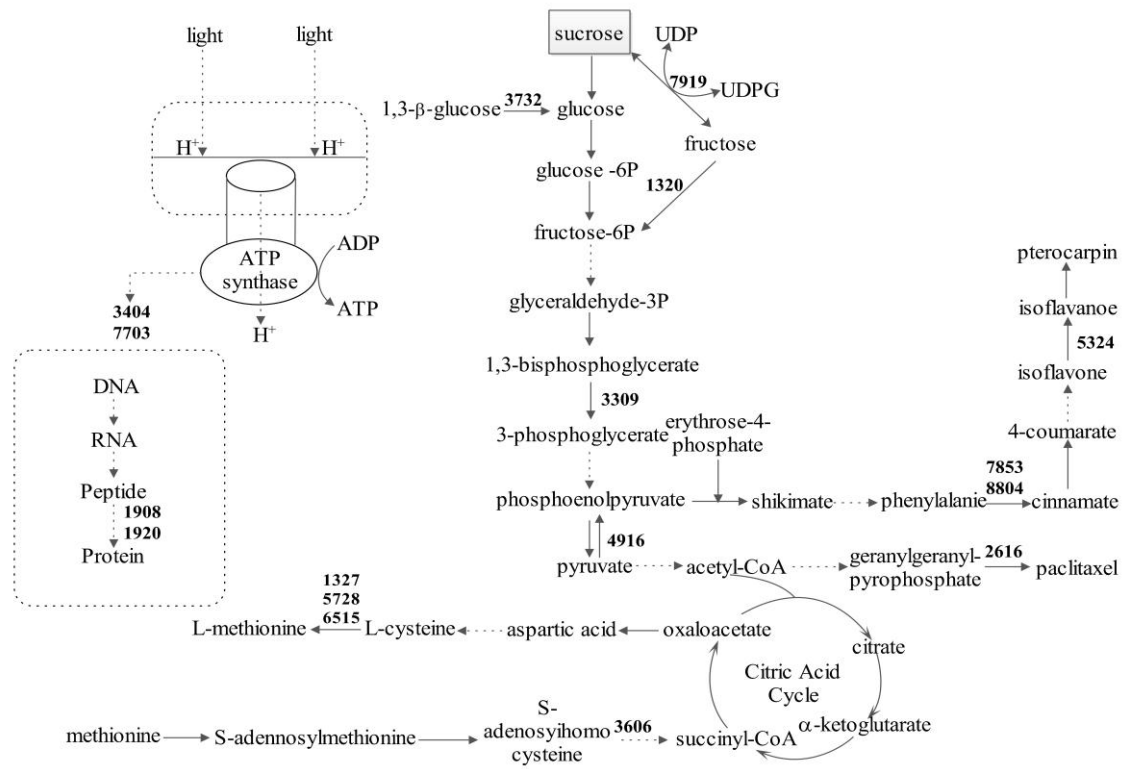
Table 2 (continued)

spot	Accession No.	Peptide sequence
4914	gi 115470116	R.QIQHGLLPFR.K R.VDEIQIVDDFR.L K.VIENGYTDLVSFGR.L R.FAVEVIDAVVGEIGAHR.V K.NLEDEIYAEIR.A R.LPATGEPHQQLQGGR.E
4916	gi 2443402	R.SDFEGIFR.A R.LGDPARPLLSVR.S
5318	gi 115434610	R.LSLPEGATR.D R.AVVLASADYR.L R.GVIQLLSDGTVVR.S M.SGHAAPAPHVVEDYR.G + Acetyl (N-term)
5324	gi 115434036	R.LPAAIDDGAAVLSWLR.D K.SQLLQSF.R.D R.LGHPTTALVR.D R.ILVVGGTGYIGR.H R.DADVISTLQALQIADQTK.L R.FLPSEFGLDPDHTGAVEPAR.S

5728	gi 108862994	K.VVFVEEGDIGTYTVLAAVDPR.A R.DAGVTLHGDLYDHASLLSAVR.D K.QIQESEIPLNIVLSIAHAGYIR.G M.ASHIVGYPR.M + Acetyl (N-term) K.YLFAGVVDGR.N
5904	gi 115454943	K.IQEELDIDVLVHGEPER.N K.ADVFLLVGTQPR.V K.GFTVLQACEVAGVDIPR.F R.ALSEVAGAQLPYDSLGSVR.D R.VELPSNPEDALEVFVDGHAVR.I
6515	gi 108862994	M.ASHIVGYPR.M + Acetyl (N-term) K.YLFAGVVDGR.N
6522	gi 115479507	R.APDSYEEELRR.D
7703	gi 89280711	K.AITLRPPDFSVPLEELK.A K.AVDSLVPIGR.G R.GIRPAINVGLSVSR.V R.EAFP GDVFYLHSR.L K.QIVVIYAAVNGFCDR.M R.MTNFYTNFQVDEIGR.V
7853	gi 29367609	R.EVAAFAQFGSDLDAATQALLNR.G R.VAFETGTAPITNR.I R.TSPQWLG PQIEVIR.A R.EVNSVNDNPVIDVHR.G
Table 2 (continued)		
spot	Accession No.	Peptide sequence
7919	gi 115453437	R.WIS AQMNR.V R.SLSALQGALR.K R.NKPIIFSMAR.L R.VVHGIDVFDPK.F K.LKDGA FEDVLR.S K.VLGTEHTHILR.V
8804	gi 115447403	R.IGDSLSAHPNELVAVFTR.L K.DGPALQVELLR.H R.EELGCVFLTGEK.L K.DAAGVAVELDEEARPR.V R.EVNSVNDNPVIDVHR.G



Supplementary Figure 1. Schematic presentation of different expressed proteins in rice leaves



Supplementary Figure 2. Schematic presentation of different expressed proteins in rice roots